

مجلة كلية التراث الجامعية

مجلة علمية محكمة

متعددة التخصصات نصف سنوية

العدد السابع والثلاثون

15 حزيران 2023

ISSN 2074-5621

رئيس هيئة التحرير

أ.د. جعفر جابر جواد

مدير التحرير

أ. م. د. حيدر محمود سلمان

رقم الإيداع في دار الكتب والوثائق 719 لسنة 2011

مجلة كلية التراث الجامعية معترف بها من قبل وزارة التعليم العالي والبحث العلمي بكتابها المرقم
(ب) 3059/4 المؤرخ في (7/4/2014)



مقارنة مقدار المربعات الصغرى المبتورة الدائرية الحصينة ومقدار M الدائري الحصين لانموذج الانحدار الدائري JS باستعمال المحاكاة

الباحث سهيل نجم عبود

الباحثة هدى هدب عباس

جامعة بغداد - كلية الادارة والاقتصاد- قسم الاحصاء

المُسْتَخْلِص:

في هذا البحث تم استعمال اسلوب المحاكاة مونت- كارولوا لغرض مقارنة مقدر المربعات الصغرى المبتورة الدائيرية (Robust Circular Trimmed Least square) مع طريقة M الدائرية الحصينة في حالة عدم تلوث البيانات وفي حالة وجود تلوث في البيانات من خلال اتجاهين الاول تلوث بنقط الانعطاف العالية التي يمثل التلوث في المتغير المستقل الدائري والثاني التلوث في المتغير العمودي الذي يمثل المتغير الدائري باستعمال ثلاثة معايير للمقارنة هي وسيط الخطأ المعياري (Median SE) ووسيط متوسط مربعات الخطأ (Median MSE) ووسيط متوسط جتا للبواقي الدائيرية (Median A(k)). وتم التوصل الى ان طريقة المربعات الصغرى افضل من طرائق طريقة المربعات الصغرى المبتورة الدائيرية الحصينة وطريقة مقدر M الدائري الحصين في حالة عدم احتواء البيانات على قيم ملوثة كونها سجلت اقل معيار وسيط متوسط مربعات خطأ (Median MSE) واقل وسيط خطأ معياري (Median SE) واكبر قيمة لمعيار وسيط متوسط جتا البواقي الدائيرية (K) A وكافة احجام العينات الافتراضية (100, 50, 20, n=). وفي حالة التلوث في البيانات العمودية اتضح عدم افضلية طريقة المربعات الصغرى الدائيرية عند كافة نسب التلوث وكلافة احجام العينات. وافضلية طرائق التقدير الحصينة وانه كلما ازدادت نسبة التلوث في البيانات العمودية زادت افضلية طرائق التقدير الحصينة بحيث يقل معيار وسيط متوسط مربعات خطأ (Median MSE) ويعاد وسيط خطأ معياري (Median SE) وتزداد قيمة لمعيار وسيط متوسط جتا البواقي الدائيرية (K) A وكافة احجام العينات الافتراضية. وفي حالة التلوث في نقاط الرفع العالية عدم افضلية طريقة المربعات الصغرى الدائيرية بنسبة كبيرة عند كافة نسب التلوث وكلافة احجام العينات. وانه كلما ازدادت نسبة التلوث في نقاط الرفع زادت افضلية طرائق التقدير الحصينة بحيث يقل معيار وسيط متوسط مربعات خطأ (Median MSE) ويعاد وسيط خطأ معياري (Median SE) وتزداد قيمة لمعيار وسيط متوسط جتا البواقي الدائيرية (K) A وكافة احجام العينات الافتراضية.

الكلمات المفتاحية : الحصانة ، الانحدار الدائري ، مقدر M الدائري ، مقدر المربعات الصغرى ، مقدر المربعات الصغرى المبتدورة الدائرية الحصينة ، الاصحاء الدائري ، البيانات الدائرية ، المشاهادات الشاذة .

:Abstract

In this research, the Monte Carlo simulation method was used for the purpose of comparing the Robust Circular Trimmed Least square with the robust circular M method in the case of no data contamination and in the case of data contamination through two directions. The first is contamination with high inflection points that represent Pollution in the circular independent variable and the second pollution in the vertical variable that represents the circular dependent variable using three criteria for comparison: the median of the standard error (Median SE), the median of the mean squared error (Median MSE), and the median of the median cos of the circular remainder (Median A(k)). It was concluded that the method of least squares is better than the methods of the method of the impartial circular truncated least squares method and the method of the impartial circular M estimator in the event that the data did not contain contaminated values, as it recorded the least standard median mean square error (Median MSE).



and the least median standard error (Median SE) and greater A value for an intermediate standard cos of the circular residuals A(K) for all sizes of hypothetical samples ($n=20, 50, 100$). In the case of contamination in vertical data, it became clear that the circular least squares method was not preferred at all contamination rates and for all sample sizes. And the preference of the robust estimation methods, and that the greater the percentage of pollution in the vertical data, the greater the preference of the robust estimation methods, so that the median standard of average square error (Median MSE) and the standard of median standard error (Median SE) decrease, and the value of the median standard of the cosine of the circular residuals A(K) decreases for all sizes default samples. In the case of contamination at high elevation points, the circular least squares method is not preferred by a large percentage at all contamination rates and for all sample sizes. And that the higher the pollution percentage in the lifting points, the more the preference of the robust estimation methods increases, so that the median standard of mean square error (Median MSE) and the standard of median standard error (Median SE) decrease, and the value of the median standard cos of the circular residuals A (K) increases for all sizes of virtual samples.

Keywords: robust, circular regression, circular M estimator, least squares estimator, impervious circular truncated least squares estimator, circular statistics, circular data, .anomalous observations

1. المقدمة

إنَّ ما يشغل الباحث في حقول المعرفة كافة هو طبيعة البيانات فمن النادر جداً أن تكون هذه البيانات مهيأة مباشرة لاستخدام الأساليب الإحصائية المناسبة للتقدير، فعند حصول حالة خرق لإحدى الشروط المطلوبة للتقدير أو عدم الدقة في البيانات فإنه يستوجب البحث عن أساليب مختلفة لمعالجة تلك الحالات. ومن البيانات التي تواجهها في كثير من التطبيقات العملية هي البيانات التي تكون مقاسة بشكل زوايا بالدرجات أو الرadian مثل زوايا كسر العظم وزوايا انحناء قرنية العين وغيرها. لقد زادت التطبيقات على المتغيرات الدائرية في العقدين الماضيين، وتتنوعت في العديد من المجالات بما في ذلك علم الأحياء والأرصاد الجوية والطب. وعلى الرغم من أن إنموذج الانحدار الدائري الأول يعود إلى (Gould, 1969) وبعده تم اقتراح أنواع مختلفة من هذه النماذج؛ لكن لا تزال دراسة القيم المتطرفة وحصانة نماذج الانحدار الدائري غير مدرورة بشكل جيد. إذ استعملت أساليب الكشف عن القيم المتطرفة بناءً على نموذج الانحدار الدائري البسيط من خلال توسيع الطرائق الشائعة من الانحدار الخطي. وقد يحدث في بعض الأحيان عند القيام بعملية التحليل الإحصائي لمجموعة من البيانات أن بعض المشاهدات تتحرف أو تتشذ عن الكمية الأكبر من المشاهدات الموجودة معها والتي يطلق على تلك المشاهدات المنحرفة تسمية شواذ (Outliers) والتي في حالة وجودها ضمن البيانات فإن المقدرات التقليدية تتحقق في أعطاء تقييرات دقيقة عن معلمات المجتمع الإحصائي الذي سحب منه تلك البيانات بسبب اختراق الشروط الأساسية لها، لذا فإن استخدام التحليلات الإحصائية لبيانات تحتوي على قيم شاذة بعد مشكلة حقيقة ويجب تجنبها. وفي نفس الوقت تواجهنا بيانات مسجلة بالدرجات أو بالزوايا النصف قطرية في مجموعات مختلفة من مجالات البحث العلمي منها اتجاهات الرياح اليومية واتجاهات تيار المحيط واتجاه مستوى كسر العظام. لا يمكن استخدام نماذج الانحدار الاعتيادية معها لذلك لابد من استخدام إنموذج يطبق على تلك البيانات الدائرية. فقد تم اقتراح صيغ مختلفة من هذه النماذج الدائرية؛ ولكن لا تزال مشكلة دراسة القيم الشاذة وإنموذج الانحدار الدائري الحصين لم تؤخذ بعين الاعتبار لحد الان والتي تعد مشكلة حقيقة عندما تواجهنا مشكلة وجود قيم شاذة ضمن البيانات المدرورة. تنبأ الباحث (Goud, 1969) بالتوسط الاتجاهي لمتغير استجابة دائري ومجموعة متغيرات مستقلة خطية وتم بعد اقتراحه العديد من نماذج الانحدار الدائري (Alshqaq, et al, 2021,1). فقد تمكّن الباحثان جاماalamadaka وسارما (Jammalamadaka & Sarma, 1993) من طرح مفهوم الانحدار الدائري لبيانات تمثل اتجاهات تقاس كزايا في مستوى مع الإشارة إلى إحساس ثابت بالدوران واتجاه ثابت للصفر، حيث ناقشا بعض الطرائق التجريبية والاختبارات المقاربة لتحديد درجة معادلة الانحدار وطوراً بعض الخوارزميات العددية لایجاد معاملات الانحدار الدائري (1993). في عام (2008) استعمل (Mohamed) (Jammalamadaka & Sarma, 1993) الأداة لتقدير معاملات إنموذج الإنحدار الخطي البسيط وإنموذج الإنحدار الخطي البسيط عندما تكون المتغيرات دائرية بخطأ عشوائي له توزيع Von-Mises بمتوسط صفر وتبين k . في عام (2013) إقترح (A.H. Abuzaid) آخرون إحصاء عددي جديد سميت متوسط الخطأ الدائري (Mean Circular error) . في نفس العام (2013) استعمل



(A. Ibrahim) وأخرون طريقة المربعات الصغرى (**OLS**) لتقدير معلمات انموذج الانحدار الدائري $- JS$ واعتمدوا على احصاء **COVARATIO** وطريقة حذف الصف لتحديد واكتشاف القيم الشاذة في انموذج JS . في عام (2015) استعمل (Rambli) وأخرون احصاء **COVARATIO** لتحديد واكتشاف القيم الشاذة في انموذج الانحدار الدائري الذي اقترحه كل من (Downs & Mardia, 2002) وتم تقييم اداء الطريقة عن طريق تجرب محاكاة مونت-كارلو. في عام (2017) اقترح (A. Mahmood) وأخرون احصاء جديدة لتحديد القيم الشاذة المتعددة في انموذج الانحدار الدائري البسيط تعتمد على حساب المسافة الدائرية الحصينة بين البوافي الدائري و معلمة الموقف الدائري و تم تقييم اداء الطريقة المقترحة باستعمال المحاكاة. في نفس العام (2017) اقترح (Jha & Biswas) مقدر الامكان الأعظم المبتور الحصين (**Cosine Distance**) (Robust Maximum Trimmed estimator RMTE) الذي اعتمد على مسافة الـ (جتا) (*Kato et al., 2008*). في عام (2019) عرف (Alkasadi) وأخرون القيم الشاذة في انموذج الانحدار الدائري المتعدد (**MCRM**) الذي اقترح من قبل (Ibrahim, 2013) والذي يدرس العلاقة بين متغيرين دلائرين أو اكثر، حيث قاموا بتوسيع احصاء **DFFITS** الذي اقترح من قبل (Belsley, 1980) واختبروا الطريقة باستعمال تجرب محاكاة مونت-كارلو . في عام (2020) اقترح (A. Mahmood) وأخرون طرائق حصينة لتقدي معلمات انموذج الانحدار الدائري وهي طريقة الامكان الاعظم الموزونة (**Maximum Weighted Likelihood Estimation MWLE**) وطريقة الامكان الاعظم المبتورة (**Maximum Trimmed Likelihood Estimation MTLE**) وتم مقارنة الطرفيتين الحصينتين باستعمال محاكاة مونت- كارلو باستعمال المعايير الاحصائية متوسط مربعات الخطأ (**MSE**) للمقدرات والتباين (**Variance**) ومقدار التحيز (**Bias**). في عام (2021) وسع (Alshqaq) وأخرون مقدرات **M** الحصينة (**Least-Truncated squares LTS**) (Least-median squares LMS) من انموذج الانحدار الخطى التقليدى الى انموذج الانحدار الدائري JS وسيط (**Jammalamadaka & Sarma, 1993**) الذي يتتصف بصفاته الجيدة وحساسيته في اكتشاف القيم الشاذة. في هذا البحث تم استعمال اسلوب المحاكاة مونت- كارلو في مقارنة طرفيتين التقدير المستعملة.

2. مشكلة البحث:

قد يحدث في بعض الأحيان عند القيام بعملية التحليل الاحصائي لمجموعة من البيانات أن بعض المشاهدات تتحرف أو تشذ عن بقية المشاهدات الموجودة معها والتي يطلق على تلك المشاهدات المنحرفة تسمية شواذ (**Outliers**) والتي يتم تمثيلها بانموذج احصائي متمثل بانموذج انحدار دائري فأن تقدير معاملات هذا الانموذج وفق الطرائق التقليدية قد تتحقق في إعطاء تقديرات دقيقة لمعلمات الانموذج الممثل للظاهرة المدرسة.

3. أهمية البحث:

يُعد وجود قيم شاذة ضمن البيانات مشكلة حقيقة ويجب تجنبها اذ لا يمكن معها استعمال نماذج الانحدار الاعتيادية لذلك لابد من استعمال انموذج يطبق على تلك البيانات الدائرية ، لذلك اقترح العديد من الباحثين صيغ مختلفة من هذه النماذج الدائرية؛ ولكن لا تزال مشكلة دراسة القيم الشاذة في ظل البيانات الدائرية لم تؤخذ بعين الاعتبار لحد الان والتي تعد مشكلة حقيقة عندما تواجهنا مشكلة وجود قيم شاذة ضمن البيانات الدائرية من هنا تأتي اهمية البحث من كونه يعطي طرائق حصينة ضمن اطار البيانات الدائرية ونذكرها فيما يسمى بانموذج الانحدار الدائري الحصين.

3. الإحصاء الدائري (**Circular Statistics**) (Pewsey et al., 2013, 16)

يشير مصطلح الإحصاء الدائري إلى فرع معين من فروع الإحصاء الذي يتعامل مع البيانات التي يمكن تمثيلها كنقاط على محيط دائرة الوحدة (**Unit Circle**). إذ يطلق على هكذا نوع من البيانات بالبيانات الدائرية (**Circular Data**) . ومصطلح البيانات الدائرية يستخدم لغرض تمييزها عن البيانات الخطية (**Linear Data**) المعتمد عليها كثيراً في التحليلات. حيث إن الداعم (**Support**) للبيانات الدائرية هو دائرة الوحدة ، بينما للبيانات الخطية يكون الداعم هو خط الأعداد الحقيقي. تدخل البيانات الدائرية في مختلف التخصصات مثل علم الأحياء ، الطب ، تحليل الصور ، علوم الأرض ، الفيزياء ، الدراسات السياسية ، وعلم الفلك. في الفضاء ثنائي الأبعاد ، ويمكن تمثيل أي نقطة إما بإحداثياتها الديكارتية كـ (r, θ) أو بإحداثياتها القطبية كـ (r, θ) ، حيث r هي المسافة من محيط الدائرة إلى نقطة الأصل. في التحليل الدائري ، يتم التركيز على الاتجاه فقط ، لذلك يتم اعتبار المتجه r بطول الوحدة ($r = 1$). لذلك ، يمكن تمثيل أي نقطة على الدائرة كـ ($\cos(\theta), \sin(\theta)$). ومن الأمثلة على البيانات الدائرية الاتجاهات المقاومة باستخدام أدوات مثل البوصلة أو المنقلة أو ريشة الطقس أو الفرجان. فمن المعتمد تسجيل مثل هذه الاتجاهات بالزوايا المعبر عنها بالدرجات (**Degrees**) أو الرadian (Radians) إما في اتجاه عقارب الساعة أو عكس اتجاه عقارب الساعة من نقطة أصل الدائرة ، والتي يشار إليها باسم الاتجاه الصفرى . فالمطلوب هو تحديد موقع النقطة والاتجاه وليس كما في البيانات على الخط الحقيقي ؛ فالقيم الموجدة



على يسار نقطة الأصل (0) تكون سالبة والقيم الموجودة على اليمين تكون موجبة. وبالنسبة للبيانات الدائرية ، كل زاوية تعرف كنقطة على محيط دائرة الوحدة ، تماماً كما تحدد كل قيمة لمتغير خطي كنقطة على الخط الحقيقي. ومع زيادة القيمة المطلقة للمتغير الخطي ، تبتعد عن نقطة الأصل. لذلك ، في الخط الحقيقي ، تكون القيمة 360 قريباً نسبياً من القيمة 355 ولكنها بعيدة نسبياً عن نقطة الأصل. ولكن بالنسبة للمتغيرات الدائرية تقابل الزاوية 355 درجة نقطة على محيط دائرة الوحدة قريباً من تلك المقابلة لـ 360 درجة ، فإن الزاويتين 0 و 360 درجة تحددان نفس النقطة بالضبط. هذه الطبيعة الدورية للبيانات الدائرية هي التي تجرنا على التخلص عن الأساليب الإحصائية التقليدية المصممة للبيانات الخطيّة وتجعلنا نبحث عن تلك التي تخدم البيانات الدائرية وتأخذ هذه الأساليب في نظر الاعتبار بنية هذه البيانات.

4. البيانات الدائرية (Circular Data) (G Pramesti, 2018, 2-3)

غالباً ما يتم تمثيل القياسات في أي مجال بعدداً حقيقياً ، ولكن في الواقع وفي العديد من المجالات المتنوعة يمكن قياس أي مشاهدة على أنها اتجاه (Direction) ، على سبيل المثال اتجاه الرياح ، اتجاه الطيور المهاجرة كبيانات دائرية يمكن قياسها بالبوصلة أو الساعة، ويمكن أيضاً اعتبار عمر الكون واتجاهات الكائنات الحية واتجاه الملوثات اعتباراً لها مشاهدات اتجاهية ويشار إلى مثل هذه البيانات بالبيانات الاتجاهية (Direction Data) ، حيث يمكن تمثيل الاتجاه كنقطة على محيط دائرة الوحدة او متوجهات وحدة تربط نقطتي الأصل بهذه النقاط. وبالتالي تسمى البيانات ثنائية البعد بالبيانات الدائرية (Circular Data) وتسمى المشاهدات في ثلاثة ابعاد بالبيانات الكروية (Spherical Data) . ويمكن تمثيل البيانات الدائرية بالزاوية θ والتي مداها $[0, 2\pi]$ او $[\pi, -\pi]$. والزاوية θ تكون دورية حيث ان $\theta = 0 + 2k\pi$. وبجانب البيانات الدائرية فان المتغير العشوائي الذي له قيمة على نصف دائرة الوحدة والتي لها المجال $[\frac{\pi}{2}, \frac{\pi}{2}]$ او $[-\frac{\pi}{2}, \frac{\pi}{2}]$ والتي تدعى بالبيانات المحورية (Axial) او البيانات النصف دائرة (Semi-Circular Data).

5. المشاهدات الشاذة (Outlier Observations)

يقصد بالشذوذ في البيانات وجود وتدخل البيانات عشوائية مختلفة أحدهما تنتج غالبية البيانات ، والأخرى مسؤولة عن حدوث القيم الشاذة. حتى لو تمكننا من تحديد إنموذج لغالبية البيانات ، فليس من الواضح كيفية اختيار اتجاهات الإنحرافات عن إفراطيات الإنموذج التي تسببها القيم الشاذة. بهذا المعنى ، فمن المفترض أن تكون القيم الشاذة في البيانات قيماً غير متوقعة ، ولا يمكن للتحليل الكشف عن عملية توليدها العشوائية. وقد عرف كل من Barnett and Lewis (1994), Davies (1994), and Gather (1993), Markatou et al. (1998), and Gather et al. (2003) القيم الشاذة بأنها قيم مأخوذة عن ظواهر والتي تتنقى احتمالاً صغيراً في ظل الإنموذج المفترض. (Farcomeni & Gareco, 2015, 4). وتعرف القيمة الشاذة (Outlier) أو القيمة الملوثة (Contaminants) بأنها بأنها نقاط إعتباطية في الطبيعة تمثل مشاهدة او مجموعة من المشاهدات خارجة عن النمط الطبيعي لمجموعة البيانات. (هبة الله : 2005 , 4) وانها نقاط بيانات تكون متباعدة عن غالبية نقاط البيانات الأخرى (أي أنها مشاهدات لا تندرج مع بقية بيانات المجموعة لأي متغير من المتغيرات لظاهره معينة أو لمجموعة من الظواهر) ، فقد تكون قيمة هذه المشاهدة كبيرة أو قد تكون صغيرة واقعة في أحد طرفي مجموعة المشاهدات المرتبة تصاعدياً أو تنازلياً ، وأن شذوذها قد يكون في حالات كثيرة مسألة طبيعية ملزمة لبعض المتغيرات (الياسري: 2007, 6). وتكون مولدة بطريقة مختلفة عن طريقة توليد المشاهدات الأصلية. وهي المشاهدات التي تظهر بصورة غير متناسبة مع ما تبقى من مجموعة البيانات (Obikee & et.al., 2014 , 536) . كما عرفها الباحثان (Rousseeum & Leroy (1987) بأنها مشاهدات في الانحدار التي تتحرف عن الجزء الأكبر من البيانات . (Hekimoglu & Erenoglu (2013 , 421) في حين عرف الباحثان (Barnett & Lewis) في عام (1994) القيم الشاذة بأنها (المشاهدات التي تظهر بصورة غير متناسبة مع ما تبقى من مجموعة البيانات) .

6. أصناف المشاهدات الشاذة (Classes of Outlier Observations)

في عام (2015) صنف كل من الباحثون (Lukman , et al.) (القيم الشاذة الى ثلاثة فئات قيم شاذة في المحور V (قيم شاذة رأسية او عامودية). وقيم شاذة في كلا الاتجاهين (محور المتغير التوضيحي ، محور المتغير التابع V) . وقيم شاذة في محور المتغير التوضيحي U تسمى (نقاط الرفع او نقاط الانعطاف العالية) (HLPs) وقد سميت بهذا الاسم لأنها تعطف او تميل خط انموذج الانحدار نحوها وبالتالي تسبب مشاكل اكثراً خطورة من القيم الشاذة العامودية في المحور V . (Lukman , et al., 2015, 55)

6. إنموذج الانحدار الدائري JS (Jammalamadaka & Sarma Circular regression model) إقترح (Jammalamadaka and Sarma, 1993) إنموذج انحدار دائري لمتغيرين عشوائيين دائريين U و V للتنبؤ بـ V بواسطة U في سياق التوقع الشرطي للمتجه e^{iv} بمعلومية u وكالآتي:

$$E(e^{iv}|u) = \rho(u)e^{iu} = g_1(u) + ig_2(u), \dots \quad (1)$$

إذ أن :



... (2) $e^{iv} = \cos(v) + i \sin(v)$
 $\mu(u)$ يمثل المتوسط الشرطي الإتجاهي للـ v بمعلمة u ,
 $\rho(u)$ معلمة الكثافة الشرطية (Conditional concentration parameter) للدواال الدورية (u)
 $g_1(u), g_2(u)$ والتي تكتب كالتالي :

$$\dots (3) E(\cos(v|u)) = g_1(u)$$

$$\dots (4) E(\sin(v|u)) = g_2(u)$$

بعد ذلك يمكن التنبؤ ب v إذ أن:

$$\dots (5) \mu(u) = \hat{v} = \arctan * \frac{g_2(u)}{g_1(u)} = \begin{cases} \arctan \frac{g_2(u)}{g_1(u)} & \text{if } g_1(u) > 0 \\ \pi + \arctan \frac{g_2(u)}{g_1(u)} & \text{if } g_1(u) < 0 \\ \text{undefined} & \text{if } g_1(u) = g_2(u) = 0 \end{cases}$$

وباعتبار ان $g_1(u)$ و $g_2(u)$ دوال دورية (Periodic Function) ضمن الفترة 2π . لذلك يتم تقريب هذه الدوال باستعمال دوال مناسبة لذلك سيكون التقريب باستعمال متعددة حدود مثلثية لدرجة مناسبة m وبموجب نموذجي شبقيين بالنموذج الانحدار :

$$\dots (6) V_{1j} = g_1(u) = \cos(v_j) \simeq \sum_{k=0}^m (A_k \cos(ku_j) + B_k \sin(ku_j)) + \epsilon_{1j}$$

$$\dots (7) V_{2j} = g_2(u) = \sin(v_j) \simeq \sum_{k=0}^m (C_k \cos(ku_j) + D_k \sin(ku_j)) + \epsilon_{2j}$$

Bivariate Normal ($\varepsilon_1, \varepsilon_2$, $j = 1, \dots, n$) هو متوجه الاخطاء العشوائية الذي له توزيع طبيعي ثنائي ($\varepsilon_1, \varepsilon_2$, $j = 1, \dots, n$) بمتوجه متوسطات يساوي صفر ومصفوفة تباين مجهرولة Σ , وان (A_k, B_k, C_k, D_k) هي معلمات الانموذجين, اذ أن $k=0,1,2,\dots,m$. ويمكن تقدير الاخطاء القياسية (Standard errors) ومصفوفة التباين المجهولة Σ بافتراض أن $B_0 = D_0 = 0$ لضمان امكانية تعريف الانموذج.

(Jammalamadaka and Sarma, 1993) S. IBRAHIM et al., 2013) (Alshqaq2, et al., 2021, 2(Circular Least Squares Estimation)

ليكن $(u_1, v_1), \dots, (u_n, v_n)$ عينة عشوائية دائيرية بحجم n , فالمعادلة (1) يمكن ان تلخص كالتالي:

$$(18) \dots (V^{(1)})' = (V_{11}, \dots, V_{1n})'$$

$$(19) \dots (V^{(2)})' = (V_{21}, \dots, V_{2n})'$$

$$(20) \dots (\varepsilon^{(1)})' = (\varepsilon_{11}, \dots, \varepsilon_{1n})'$$

$$(21) \dots (\varepsilon^{(2)})' = (\varepsilon_{21}, \dots, \varepsilon_{2n})'$$

$$(22) \dots (U_{nx(2m+1)}) = \begin{bmatrix} 1 & \cos u_1 & \sin u_1 & \dots & \sin mu_1 \\ 1 & \cos u_2 & \sin u_2 & \dots & \sin mu_1 \\ \vdots & \vdots & \vdots & \ddots & \vdots \\ 1 & \cos u_n & \sin u_n & \dots & \sin mu_n \end{bmatrix}$$

ولغرض التبسيط سيتم تسمية متوجه المعلمات للانموذجين (6) و (7) كالتالي:

$$(23) \dots (\lambda^{(1)})' = (A_0, A_1, \dots, A_m, B_1, \dots, B_m)'$$

$$(24) \dots (\lambda^{(2)})' = (C_0, C_1, \dots, C_m, D_1, \dots, D_m)'$$

لذلك فان المعادلتين (23) و (24) يمكن ان تكتب بصيغة المصفوفات كالتالي:

$$(25) \dots (V^{(1)} = U\lambda^{(1)} + \varepsilon^{(1)})$$

$$(26) \dots (V^{(2)} = U\lambda^{(2)} + \varepsilon^{(2)})$$

فان تقديرات المربعات الصغرى يكون كالتالي:

$$(27) \dots (\hat{\lambda}^{(1)}) = \min \sum_{i=1}^n (V_i^{(1)} - U\lambda^{(1)})^2$$

$$(28) \dots (\hat{\lambda}^{(2)}) = \min \sum_{j=1}^n (V_j^{(2)} - U\lambda^{(2)})^2$$

ومن المعادلتين (27) و (28) نحصل على تقديرات المربعات الصغرى الدائرية باشتقاء الصيغتين نسبة للمعلمات المراد تقديرها ومساواة المشتقه الاولى بالصفر ينتج الآتي:



$$)29 \quad \dots (\hat{\lambda}^{(1)} = (\mathbf{U}'\mathbf{U})^{-1}\mathbf{U}'\mathbf{V}^{(1)}$$

$$)30 \quad \dots (\hat{\lambda}^{(2)} = (\mathbf{U}'\mathbf{U})^{-1}\mathbf{U}'\mathbf{V}^{(2)}$$

8. الحصانة في انموذج انحدار JS (Robustness in JS model)

تعد مشكلة وجود القيم الشاذة من المشاكل الشائعة في التحليل الاحصائي، والتي تعرف بانها المشاهدات التي تختلف كثيراً عن باقي المشاهدات في مجموعة البيانات. اذ وجد (Ibrahim et al., 2013) الحصانة في انموذج انحدار JS واستنتاج

بان انموذج JS حساس لوجود الشوائب ومن المحتمل ان يؤدي الى تأثيرات فعالي على تقديرات المربعات الصغرى لأنموذج JS . (Ibrahim et al., 2013, 2275)

فذلك يمكن دراسة الحصانة في انموذج الانحدار الدائري JS من اتجاهين :

القيم الشاذة العمودية الدائرية (Circular Vertical Outliers)

وهي القيم الشاذة في المتغير المعتمد \mathbf{V} ، فاذا تم استبدال \mathbf{V}_{1j} ب $\mathbf{V}_{1j}^* = Z_1 V_{1j}$ و \mathbf{V}_{2j} ب $\mathbf{V}_{2j}^* = Z_2 V_{2j}$ والذي يؤدي الى:

$$)31 \quad \dots (\mathbf{V}_{1j} = Z_1^{-1}\mathbf{V}_{1j}^*$$

$$)32 \quad \dots (\mathbf{V}_{2j} = Z_2^{-1}\mathbf{V}_{2j}^*$$

فإن الإنحدار الدائري في المعادلة (1) يمكن ان تكتب كالتالي:

$$)33 \quad \dots (Z_1^{-1}\mathbf{V}_{1j}^* = \cos(v_j) = \sum_{k=0}^m (A_k \cos(ku_j) + B_k \sin(ku_j)) + \varepsilon_{1j}$$

$$)34 \quad \dots (Z_2^{-1}\mathbf{V}_{2j}^* = \sin(v_j) = \sum_{k=0}^m (D_k \cos(ku_j) + C_k \sin(ku_j)) + \varepsilon_{2j}$$

فإن مقدرات المربعات في ظل وجود القيم الشاذة يمكن الحصول عليها كالتالي:

$$)35 \quad \dots (\hat{\lambda}^{(1)}(\mathbf{U}, \mathbf{V}_{1j}^*) = Z_1^{-1}\hat{\lambda}^{(1)}(\mathbf{U}, \mathbf{V}_{1j})$$

$$)36 \quad \dots (\hat{\lambda}^{(2)}(\mathbf{U}, \mathbf{V}_{2j}^*) = Z_2^{-1}\hat{\lambda}^{(2)}(\mathbf{U}, \mathbf{V}_{2j})$$

نقاط الانعطاف الدائرية (Circular Leverage Points)

وهي القيم الشاذة في المتغير المستقل \mathbf{U} ، فاذا تم استبدال \mathbf{U} ب $\mathbf{ZU} = \mathbf{U}^*$ فان:

$$)37 \quad \dots (\hat{\lambda}^{(1)}(\mathbf{U}^*, \mathbf{V}_{1j}) = Z_1^{-1}\hat{\lambda}^{(1)}(\mathbf{U}, \mathbf{V}_{1j})$$

$$)38 \dots (\hat{\lambda}^{(2)}(\mathbf{U}^*, \mathbf{V}_{2j}) = Z_2^{-1}\hat{\lambda}^{(2)}(\mathbf{U}, \mathbf{V}_{2j})$$

(Alshqaq, 2021, 2-3)Alshqaq2, et al., 2021,3

9. تقدير M الحصين الدائري (Circular Robust M-estimation)

قدم الباحث (Huber, 1964) مقدرات أطلق عليها مقدرات الامكان الأعظم النوعية (Maximum Likelihood Type

(estimators) ويرمز لها بـ (M) ، تعتمد فكرتها على تصغير دالة في البوافي بدلاً من تصغير البوافي نفسه.

فمن المعروف أن فكرة طريقة المربعات الصغرى (OLS) تعتمد على تصغير مجموع مربعات الخطأ (البوافي) اقل ما يُمكن أي:

$$)39 \quad \dots (\min_{\hat{\lambda}^{(p)}} \sum_{i=1}^n (V_j - U\lambda^{(p)})^2 ; p = 1, 2$$

ولكن طريقة M-estimate تقوم بتصغير دالة الهدف بدلاً من تقليل مجموعة مربعات الخطأ لدالة الهدف حيث انها تعتمد على تصغير دالة الهدف الآتية:

$$)40 \quad \dots (\min_{\hat{\lambda}^{(p)}} \sum_{i=1}^n P(V_j - U\lambda^{(p)})^2 ; p = 1, 2$$

إذ أن P دالة محدبة متتماثلة (Symmetric Convex Function) غير متناقصة حدودها [0, ∞) مستمرة وقابلة للأشتقاق نحصل منها على مقدرات حصينة اذ تكون اقل حساسية للقيم الشاذة من مجموع المربعات . اذ ان P المنطقية والمعقولة يجب ان تمتلك الخصائص الآتية :

$$p(e) \geq 0$$

$$p(0) = 0$$



$$p(e) = p(-e)$$

$$p(e) = p(e') \quad |e| \leq |e'|$$

اذ أنه يمكن الحصول على مقدرات معلمات إنموذج الانحدار الدائري بتصغير المعادلين:

$$\dots (41) \hat{\lambda}^{(1)}(U^*, V_{1j}) = \min \sum_{i=1}^n P(V^{(1)}_j - U\lambda^{(1)})^2$$

$$\dots (42) \hat{\lambda}^{(2)}(U^*, V_{2j}) = \min \sum_{i=1}^n P(V^{(2)}_j - U\lambda^{(2)})^2$$

بأخذ المشقة الجزئية بالنسبة للمعلمات ومساواتها للصفر وكما يأتي:

$$\dots (43) \begin{cases} \sum_{i=1}^n \psi(V_j - U\lambda^{(p)})^2 = 0 \\ \sum_{i=1}^n \psi(V_j - U\lambda^{(p)})^2 = 0 \end{cases}$$

إذ أن ψ تمثل المشقة الجزئية للدالة $P' = \psi$ بالنسبة للمعلمات. وأن المعادلة (43) يمكن ان نحصل منها على مقدرات المربعات الصغرى .

وتعد دالة Huber او Biweight من الدوال المستخدمة بشكل واسع في طريقة M الحصينة والتي يمكن ان تعرف من خلال مصفوفة الوزن (W) , اذ أن $w = \frac{\psi(\varepsilon)}{\varepsilon}$, فان المعادلة (43) يمكن اعادة صياغتها كالتالي:

$$\dots (44) \begin{cases} W^{(1)}(V^{(1)} - U\lambda^{(1)}) = 0 \\ W^{(2)}(V^{(2)} - U\lambda^{(2)}) = 0 \end{cases}$$

اذ ان :

$$\dots (45) \begin{cases} W^{(1)} = \frac{\psi(V^{(1)} - U\lambda^{(1)})}{(V^{(1)} - U\lambda^{(1)})} \\ W^{(2)} = \frac{\psi(V^{(2)} - U\lambda^{(2)})}{(V^{(2)} - U\lambda^{(2)})} \end{cases}$$

فيمكن كتابة المعادلة (45) كالتالي:

$$\dots (46) \begin{cases} \sum_{i=1}^n W^{(1)}(V^{(1)} - U\lambda^{(1)})U \\ \sum_{i=1}^n W^{(2)}(V^{(2)} - U\lambda^{(2)})U \end{cases}$$

ويمكن دمج المعادلات في (47) في المصفوفة المفردة الآتية:

$$(48) \quad \dots (47) \quad U^T W^{(1)} U \lambda^{(1)} = U^T W^{(1)} U V^{(1)}$$

$$\dots (49) \quad U^T W^{(2)} U \lambda^{(2)} = U^T W^{(2)} U V^{(2)}$$

هذا يعني ان المقدرات الحصينة لانموذج الانحدار الدائري JS يمكن الحصول عليها كالتالي:

$$\dots (50) \hat{\lambda}^{(1)} = (U^T W^{(1)} U)^{-1} U^T W^{(1)} V^{(1)}$$

$$\dots (51) \hat{\lambda}^{(2)} = (U^T W^{(2)} U)^{-1} U^T W^{(2)} V^{(2)}$$

اذ ان $W^{(1)}$ و $W^{(2)}$ هي مصفوفة الاوزان ببعد $n \times n$.

اقترح الباحث Huber عند العدد الصحيح $M=1.345$ دالة الهدف الآتية:

$$\dots (52) P(\varepsilon) = \begin{cases} \varepsilon^2 & \text{for } |\varepsilon| \leq M \\ 2M|\varepsilon| - M^2 & \text{for } |\varepsilon| > M \end{cases}$$

اذن فان ψ تعطى كالتالي:

$$\dots (53) \psi(\varepsilon) = \begin{cases} 2\varepsilon & \text{for } |\varepsilon| \leq M \\ 2M\text{sgn}(\varepsilon) & \text{for } |\varepsilon| > M \end{cases}$$

فان دالة الوزن تعطى كالتالي:

$$\dots (54) W(\varepsilon) = \begin{cases} 1 & \text{for } |\varepsilon| \leq M \\ \frac{M}{|\varepsilon|} & \text{for } |\varepsilon| > M \end{cases}$$



وبسبب تزايد الاهتمام بطريقة مقدرات M خلال العقود الماضية دفع الكثير من الباحثين والإحصائيين بالاهتمام بأسلوب التقديرات الحصينة أمثل (Hampe, Hinich, Talwar, and Rews) إلى اقتراح كثير من الدوال (.)^٧. بحيث تعطي مقدر غير شديد الحساسية Non Sensitivity وغير متأثر بالشواذ .

10. مقدر المربعات الصغرى المبتورة الحصينة الدائرية (Circular Robust Least Trimmed Squares estimator)

اقتصرت هذه الطريقة من الباحث (Rousseeuw) عام (1984) م ، أن مقدر (RLTS) يحقق نقطة انهيار عالية ($BP = 0.5$) ، كونه لا يتأثر بوجود القيم الشاذة ، أن المقدر الناتج من هذه الطريقة يدعى بمقدر المربعات الصغرى المبتورة ويرمز له بالرمز (LTS) ويتم حسابه وفقاً للصيغة الآتية :

$$\hat{\lambda}_{(p)LTS} = \arg \min_{\lambda} Q_{LTS} (\lambda) \quad \dots (55)$$

وان :

$$\dots (56) \quad Q_{LTS} (\lambda_{(p)}) = \sum_{i=1}^h r_i^2$$

ثابت وشروطه ($n < h < \frac{n}{2}$) . وان: $r_i^2 \leq r_{(1)}^2 \leq \dots \leq r_{(n)}^2$

$$r = 1, 2, \dots, p; \quad p = 1, 2$$

تمثل مربعات الباقي الاتجاهية المرتبة من أقل قيمة إلى أعلى قيمة إذ أن:

$$\dots (57) \quad r_i^2 = \frac{(V^{(p)}_j - U\lambda^{(p)})^2}{1 + \hat{\lambda}_{(p)}, \hat{\lambda}_{(p)}}, \quad i = 1, 2, \dots, n$$

(A. S. Shvedov , 2016, 11)

ان h هو عدد النقاط البيانات الجيدة (غير مشتبه) والتي تكون مستبعدة في المجموع ، وأن المقدر يعطي تقدير حصين من خلال تعريف $h - n$ من النقاط والتي يكون لها أكبر الباقي كالشواذ ، مما يسمح باستبعاد هذه النقاط من مجموعة البيانات بشكل كامل اعتماد على قيمة h التي تكون قريبة جدًا من نقاط البيانات الجيدة وذلك لأن أعلى عدد من النقاط الجيدة يستعمل في التقدير، وفي هذه الحالة فإن مقدر (RLTS) سوف يعطي أفضل تقدير ممكن .

(Chen, 2015, 5-6) (Rousseeuw & Driessen, 2006, 31-33) (Simulation)

تم إعتماد إسلوب المحاكاة مونت-كارلو (Monte-Carlo Simulation) لتقدير معلمات انموذج الانحدار الدائري لـ JS باستعمال مقدر S الدائري الحصين ومقارنتها مع طريقة المربعات الصغرى الدائرية (Circular Least squares) method باستعمال ثلاثة معايير للمقارنة هي وسيط الخطأ المعياري (Median SE) و وسيط متوسط مربعات الخطأ (Median MSE) و وسيط متوسط الجتا للباقي الدائري (Median A(k)) للوصول الى افضل التقديرات. ولغرض اختبار طرائق التقدير تم اجراء الخطوات الآتية:

11.1 تحديد الإنموذج (Model identification)

لغرض التبسيط وتوضيح اكتر لإنموذج الانحدار الدائري سيتم اعتبار الحالة للانموذج عندما تكون $k=1$ لذلك سوف نحصل على الانموذج الآتي:

$$V_{1j} = g_1(u) = \cos v_j \simeq A_1 \cos 0u_j + B_0 \sin 0u_j + A_1 \cos 1u_j + B_1 \sin 1u_j + \varepsilon_{1j} \quad \dots (58) \quad \simeq A_0 + A_1 \cos u_j + B_1 \sin u_j + \varepsilon_{1j}$$

$$V_{2j} = g_2(u) = \sin v_j \simeq C_0 \cos 0u_j + D_0 \sin 0u_j + C_1 \cos 1u_j + D_1 \sin 1u_j + \varepsilon_{2j} \quad \dots (59) \quad \simeq C_0 + C_1 \cos u_j + D_1 \sin u_j + \varepsilon_{2j}$$

ولغرض التبسيط سيتم اعتبار ان $C_0 = A_0$ مساوية الى الصفر بينما القيم الافتراضية لـ A_1, B_1, C_1, D_1 يتم الحصول عليها من خلال معادلات كثيرة الحدود المثلثية المضافة للفيما $\sin(a+u)$ و $\cos(a+v)$ و $a=2$ فعندما $\sin(a+u) = \sin(a) \cos(u) + \cos(a) \sin(u)$. بحيث يكون :

$$\cos(2 + u) = -0.0416 \cos u - 0.9093 \sin u$$

$$\sin(2 + u) = 0.9093 \cos u - 0.0416 \sin u$$

وبالمقارنة مع المعادلات :

$$w^{(1)} = (v^{(1)} - u\lambda^{(1)}) = 0$$



$$w^{(2)} = (v^{(2)} - u\lambda^{(2)}) = 0$$

اذ ان:

$$w^{(1)} = \frac{\psi(v^{(1)} - u\lambda^{(1)})}{(v^{(1)} - u\lambda^{(1)})}$$

$$w^{(2)} = \frac{\psi(v^{(2)} - u\lambda^{(2)})}{(v^{(2)} - u\lambda^{(2)})}$$

فإن متوجه القيم الافتراضية للمعلمات A_1, B_1, C_1, D_1 يكون كالتالي:
-0.04161, -0.09093, 0.09093, 0.04161

11.2 توليد الأخطاء العشوائية (random errors generating)

ستم الأخذ بنظر الاعتبار الأخطاء العشوائية تكون غير مترابطة $\epsilon_{1j}, \epsilon_{2j}$ وتتوزع توزيع طبيعي ثنائي المتغيرات بمتوسط $\mu=0$ وتبالينات σ^2_1 و σ^2_2 هي **0.03, 0.03** على التوالي.

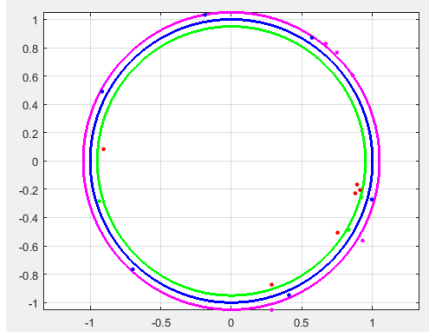
11.3 توليد المتغيرات العشوائية الدائرية (Circular random variables generating)

تم توليد المتغيرات العشوائية الدائرية في انموذج الانحدار الدائري لـ JS وهي المتغير العشوائي المستقل **u** والمتغير العشوائي الدائري المعتمد **v** من توزيع Von-misses بمتوسط π ومعلمة كثافة مساوية إلى 2 أي أن: (Alshqaq2, et al., 2021, 4)

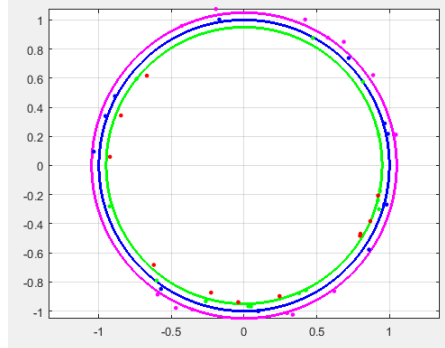
$$v \sim vM(\pi, 2)$$

$$u \sim vM(\pi, 2)$$

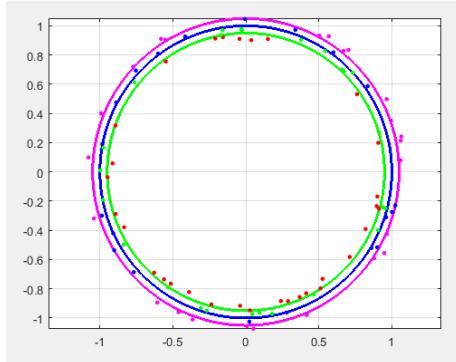
والأشكال (1) و (2) و (3) توضح البيانات الدائرية التي تم توليدها .



شكل (1) البيانات الدائرية المولدة بحجم (n=20)



شكل (2) البيانات الدائرية المولدة بحجم (n=50)

شكل (3) البيانات الدائرية المولدة بحجم ($n=100$)**11.4 توليد احجام العينات (samples generating)**

سيتم توليد عينات بحجم $n=10, 50, 100$ للتعرف على سلوك طرائق التقدير عند احجام عينات مختلفة.

11.5 تلويث البيانات (Contaminant data)

لغرض التحقق من حصانة المقدرات مقابل التلوث في قيم المتغيرات الدائرية u و v سيتم اختيار ثلاثة نسب للتلوث وهي $(5\%, 10\%, 20\%, 30\%, 40\%, 50\%)$ وحسب السيناريوهات الآتية:

1. استعمال بيانات المتغيرين بدون تلويث وتطبيق طرائق التقدير مع البيانات غير الملوثة.

2. تلويث قيم المتغير العشوائي الدائري المعتمد (بيانات العمودية) v فقط عن طريق موقع المشاهدة d ولن يتم التلوث كالآتي:

$$(60) \quad v_d^* = v_d + \delta \pi \dots$$

اذ أن v_d^* هي قيمة المتغير العشوائي الدائري المستقل v بعد التلويث، δ نسبة التلوث اذ ان $0 \leq \delta \leq 1$

3. تلويث قيم المتغير العشوائي الدائري المستقل (نقاط الانعطافات) u فقط عن طريق موقع المشاهدة d ولن يتم التلوث باستحصلان نسب مختلفة من البيانات الأصلية عند الموقع d باستعمال توزيع Von-misses بمتوسط 2π ومعلمة كثافة 6 بدلاً من البيانات الأصلية المولدة في الفقرة (12.3) اي ان :

$$(6) \quad u_d \sim vM(2\pi, 6)$$

لغرض التعرف على افضلية طرائق التقدير التي تم استعمالها في تقدير معلمات انموذج الانحدار الدائري لـ JS تم استعمال ثلاثة معايير وكما يأتي :

1. وسيط الخطأ المعياري (Median of standard error)

تم استعمال معيار وسيط الخطأ المعياري لمعلمات الانموذج بموجب الصيغة الآتية:

$$\dots (61) M(SE)(\hat{\lambda}_j) = \sqrt{\frac{\sum_{j=1}^s (\hat{\lambda}_{ij} - \bar{\lambda})^2}{s}}$$

اذ ان $\bar{\lambda} = \frac{\sum_{j=1}^s \hat{\lambda}_{ij}}{s}$ ويتمثل متوسط التقديرات المستحصل عليها بموجب كل طريقة.

2. وسيط متوسط مربعات الخطأ (Median of mean square error)

تم استعمال معيار وسيط الخطأ المعياري لمعلمات الانموذج بموجب الصيغة الآتية:

$$\dots (62) M(MSE) = \frac{\varepsilon_{ij}}{s}$$

3. وسيط متوسط جتا الباقي الدائري**(Median of mean cosines of circular residuals)**

تم استعمال معيار وسيط متوسط جتا الباقي الدائري بموجب الصيغة الآتية:

$$\dots (61) A(K) = \frac{\sum_{j=1}^s \cos(\varepsilon_{ij})}{s}$$

Alshqaq2, et al., 2021, 5)

جدول (1) نتائج تحليل المقدرات المستعملة في حالة عدم وجود تلوث في البيانات عندما $a=3$



n	Criteria	Estimates			Best
		CLS	CRM	CRLTS	
20	Median MSE	2.45333	5.34551	6.45365	CLS
	Median SE	3.94744	8.87848	8.88778	CLS
	Median A(K)	0.99595	0.88554	0.85548	CLS
50	Median MSE	2.43323	5.23453	6.23113	CLS
	Median SE	3.91463	8.76755	8.77655	CLS
	Median A(K)	0.99646	0.89554	0.88133	CLS
100	Median MSE	2.33213	5.21124	6.13333	CLS
	Median SE	3.88543	8.73345	8.89865	CLS
	Median A(K)	0.99813	0.89994	0.89453	CLS

جدول (2) نتائج تحليل المفرقات المستعملة في حالة وجود تلوث في البيانات العمودية عندما = 3

n	Criteria	Estimate s			Best
		CLS	CRM	CRLTS	
5% Vertical					
20	Median MSE	6.89755	5.52767	5.78655	CRM
	Median SE	8.99655	5.67555	5.79877	CRM
	Median A(K)	0.87344	0.98651	0.95577	CRM
50	Median MSE	6.77787	5.51644	5.67676	CRM
	Median SE	8.98655	5.63543	5.67676	CRM
	Median A(K)	0.88644	0.98699	0.96771	CRM
100	Median MSE	6.65567	5.44235	5.65776	CRM
	Median SE	8.97887	5.52123	5.65656	CRM
	Median A(K)	0.88921	0.98998	0.97961	CRM
10% Vertical					
20	Median MSE	6.85343	5.52134	5.64354	CRM
	Median SE	8.97343	5.91134	5.75545	CRM
	Median A(K)	0.81123	0.98833	0.96678	CRM
50	Median MSE	6.84566	5.51334	5.33334	CRM
	Median SE	8.96112	5.14771	5.73343	CRM
	Median A(K)	0.82788	0.98921	0.96955	CRM
100	Median MSE	6.83356	5.11272	5.32235	CRM
	Median SE	8.94782	5.11153	5.71656	CRM
	Median A(K)	0.83235	0.98978	0.96999	CRM
10 % Vertical					
20	Median MSE	7.56655	3.91766	4.96113	CRM
	Median SE	9.88976	3.27676	4.68796	CRM



	Median A(K)	0.76411	0.98886	0.96832	CRM
50	Median MSE	7.54545	3.82198	4.95466	CRM
	Median SE	9.78998	3.11676	4.61445	CRM
	Median A(K)	0.79234	0.99164	0.96987	CRM
100	Median MSE	7.45553	3.71888	4.94113	CRM
	Median SE	9.67877	3.10443	4.58086	CRM
	Median A(K)	0.79899	0.99651	0.97786	CRM
30% Vertical					
20	Median MSE	8.78666	3.49876	3.78909	CRM
	Median SE	9.99987	3.55655	3.63544	CRM
	Median A(K)	0.67655	0.98575	0.95456	CRM
50	Median MSE	8.55655	3.39565	3.66776	CRM
	Median SE	9.76766	3.54355	3.62214	CRM
	Median A(K)	0.70466	0.98934	0.96411	CRM
100	Median MSE	8.53355	3.38675	3.64544	CRM
	Median SE	9.68977	3.51355	3.61123	CRM
	Median A(K)	0.72343	0.99134	0.97348	CRM
40% Vertical					
20	Median MSE	8.52343	3.33664	3.44544	CRM
	Median SE	9.66766	3.51123	3.49665	CRM
	Median A(K)	0.53145	0.98366	0.95775	CRM
50	Median MSE	8.51123	3.31242	3.42245	CRM
	Median SE	9.56555	3.48656	3.41552	CRM
	Median A(K)	0.53111	0.98444	0.96534	CRM
100	Median MSE	8.49865	3.11233	3.31765	CRM
	Median SE	9.45655	3.43331	3.34555	CRM
	Median A(K)	0.56233	0.98833	0.97633	CRM
50 % Vertical					
20	Median MSE	9.89556	2.77756	2.89765	CRM
	Median SE	10.67889	2.57866	2.69888	CRM
	Median A(K)	0.94765	0.98775	0.97887	CRM
50	Median MSE	9.78788	2.76767	2.86767	CRM
	Median SE	10.55656	2.56565	2.68978	CRM
	Median A(K)	0.94656	0.98876	0.97886	CRM
100	Median MSE	9.66767	2.74545	2.76767	CRM
	Median SE	10.44454	2.44566	2.66777	CRM
	Median A(K)	0.93343	0.98965	0.98156	CRM

 جدول (3) نتائج تحليل المقدرات المستعملة في حالة وجود تلوث في نقاط الرقع عندما $a=3$



n	Criteria	Estimates			Best
		CLS	CRM	CRLTS	
5% Leverage					
20	Median MSE	5.78544	4.46433	4.47553	CRM
	Median SE	7.66754	6.66866	6.78654	CRM
	Median A(K)	0.54533	0.96723	0.96446	CRM
50	Median MSE	5.67655	4.45656	4.46343	CRM
	Median SE	7.57767	6.64121	6.74465	CRM
	Median A(K)	0.55923	0.97834	0.96766	CRM
100	Median MSE	5.64576	4.44433	4.45675	CRM
	Median SE	7.55657	6.61335	6.70655	CRM
	Median A(K)	0.56896	0.98164	0.97671	CRM
10% Leverage					
20	Median MSE	7.56754	3.65644	3.66235	CRM
	Median SE	9.64444	5.54333	5.56755	CRM
	Median A(K)	0.62211	0.98745	0.98275	CRM
50	Median MSE	7.55444	3.65345	3.65776	CRM
	Median SE	9.63345	5.54113	5.55211	CRM
	Median A(K)	0.66755	0.98813	0.98544	CRM
100	Median MSE	7.54343	3.74544	3.63424	CRLTS
	Median SE	9.61211	5.59454	5.53113	CRLTS
	Median A(K)	0.68567	0.97174	0.98993	CRLTS
20% Leverage					
20	Median MSE	7.53334	3.63575	3.62343	CRLTS
	Median SE	9.61125	5.52354	5.52175	CRLTS
	Median A(K)	0.71798	0.96765	0.97867	CRLTS
50	Median MSE	7.50311	3.58837	3.63123	CRLTS
	Median SE	9.59977	5.51454	5.56436	CRLTS
	Median A(K)	0.74565	0.96887	0.96164	CRLTS
100	Median MSE	7.49865	3.57854	3.65766	CRLTS
	Median SE	9.53324	5.50966	5.58897	CRLTS
	Median A(K)	0.75181	0.97546	0.97043	CRLTS
30% Leverage					
20	Median MSE	8.67666	2.79777	2.75444	CRLTS
	Median SE	9.78777	3.68989	3.68888	CRLTS
	Median A(K)	0.78877	0.97954	0.97898	CRLTS
50	Median MSE	8.66544	2.79666	2.74333	CRLTS
	Median SE	9.76444	3.66766	3.65332	CRLTS



	Median A(K)	0.79555	0.97999	0.97995	CRLTS
100	Median MSE	8.57866	2.78664	2.66875	CRLTS
	Median SE	9.66787	3.65665	3.64565	CRLTS
	Median A(K)	0.80565	0.98676	0.98787	CRLTS
40% Leverage					
20	Median MSE	8.98998	2.73323	2.66444	CRLTS
	Median SE	9.97777	3.68644	3.61355	CRLTS
	Median A(K)	0.71556	0.98896	0.98355	CRLTS
50	Median MSE	8.97988	2.62112	2.55443	CRLTS
	Median SE	9.96755	3.65454	3.58977	CRLTS
	Median A(K)	0.72865	0.98788	0.98444	CRLTS
100	Median MSE	8.95676	2.61113	2.53444	CRLTS
	Median SE	9.95655	3.61425	3.55656	CRLTS
	Median A(K)	0.73351	0.98565	0.98551	CRLTS
50% Leverage					
20	Median MSE	8.99898	2.21997	2.43232	CRLTS
	Median SE	9.99866	3.31233	3.34433	CRLTS
	Median A(K)	0.97653	0.98775	0.98655	CRLTS
50	Median MSE	8.97866	2.20554	2.33443	CRLTS
	Median SE	9.97788	3.30665	3.31344	CRLTS
	Median A(K)	0.98843	0.98854	0.98776	CRLTS
100	Median MSE	8.86664	2.03453	2.23133	CRLTS
	Median SE	9.85564	3.27966	3.24786	CRLTS
	Median A(K)	0.98886	0.98995	0.98895	CRLTS

12. مناقشة النتائج:

من جدول (1) يتضح ان طريقة المربعات الصغرى كانت افضل من مقدر المربعات الصغرى المبتورة الدائرية (Robust Circular Trimmed Least square) وطريقة M الدائرية الحصينة في حالة عدم احتواء البيانات على قيم ملوثة كونها سجلت اقل معيار وسيط متوسط مربعات خطأ (Median MSE) واقل وسيط خطأ معياري (Median SE) وابكر قيمة لمعيار وسيط متوسط جناب الباقي الدائري (A(K)) ولكافحة احجام العينات الافتراضية ($n=20, 50, 100$) وعندما تكون قيمة $a=3$. من جدول (2) وفي حالة التلوث في البيانات العمودية وعندما تكون قيمة $a=3$ يتضح عدم افضلية طريقة المربعات الصغرى الدائرية عند كافة نسب التلوث ولكافحة احجام العينات. وانه كلما ازدادت نسبة التلوث في البيانات العمودية زادت افضلية طرائق التقدير الحصينة بحيث يقل معيار وسيط متوسط مربعات خطأ (Median MSE) ومعيار وسيط خطأ معياري (Median SE) وتزداد قيمة لمعيار وسيط متوسط جناب الباقي الدائري (A(K)) ولكافحة احجام العينات الافتراضية. وتتفوق طريقة M على مقدر المربعات الصغرى المبتورة الدائرية (Robust Circular Trimmed Least square). ومن جدول (3) وفي حالة التلوث في نقاط الرفع عدم افضلية طريقة المربعات الصغرى الدائرية بنسبة كبيرة عند كافة نسب التلوث ولكافحة احجام العينات. وانه كلما ازدادت نسبة التلوث في نقاط الرفع زادت افضلية طرائق التقدير الحصينة بحيث يقل معيار وسيط متوسط مربعات خطأ (Median MSE) ومعيار وسيط خطأ معياري (Median SE) وتزداد قيمة لمعيار وسيط متوسط جناب الباقي الدائري (A(K)) ولكافحة احجام العينات الافتراضية. وتتفوق مقدر طريقة M الدائرية الحصينة على مقدر المربعات الصغرى المبتورة الدائرية (Robust Circular Trimmed Least square) عند نسبة التلوث ولكن كلما زادت نسبة التلوث تتفوق طريقة المربعات الصغرى المبتورة الدائرية (Robust Circular)



(على طريقة M الدائرية الحصينة . ومن خلال ما تم التوصل اليه من نتائج اوصى الباحثان استعمال مبدأ الضبابية مع الاخذ بنظر الاعتبار الشواذ في البيانات الدائرية مما يجعل طرائق التقدير تتمتع بمرنة ودقة اكبر في التعامل مع البيانات الدائرية في حالة كون البيانات غير دقيقة . وكذلك ادخال الدوال الليبية (Kernel functions) مع طرائق التقدير الحصينة في حالة البيانات الدائرية لايجاد مقدرات ذات كفاءة عالية في تقدير الظواهر المرورسة . وتوسيعة طرائق التقدير المستعملة في هذه الرسالة في حالة البيانات الكروية التي لها ابعاد متعددة (Multivariate) . وتقدير انموذج الانحدار الدائري لـ JS في حالة وجود اكثر من متغير مستقل .

المصادر:

1. الياسري , تهاني مهدي عباس , (2007) , " مقارنة مقدرات بيز الحصين مع مقدرات أخرى لتقدير دالة المعلولية التقريبية للتوزيع وبيل " , اطروحة دكتوراه , كلية الادارة والاقتصاد - جامعة بغداد .
2. الصراف, مصطفى نزار , الرواوي , اسماء غالب, اسماعيل, غرفان كمال , التقدير الاحصائي , مكتب الجزيرة للطباعة و النشر , بغداد, رقم الاصدار في دار الكتب والوثائق ببغداد(1588) لسنة 2016, الطبعة الأولى .
3. Ahmed , Dheyab Ahmed' Abdulwahhab , Baydaa Ismael' Abdulah, Ebtisam Karim, (2020), " A comparison among Different Methods for Estimating Regression Parameters with Autocorrelation Problem under Exponentially Distributed Error",³ Computer Center, College of Administrations & Economics, University of Baghdad, Iraq *Corresponding author:ahmedthieb@yahoo.com
4. ALMETWALLY , EHAB MOHAMED, ALMONGY, HISHAM MOHAMED, (2018), "COMPARISON BETWEEN M-ESTIMATION, S-ESTIMATION, AND MM ESTIMATION METHODS OF ROBUST ESTIMATION WITH APPLICATION AND SIMULATION ", Journal of Mathematical Archive-9(11), 2018, 55-63 Available online through www.ijma.info ISSN 2229 – 5046.
5. Alshqaq , Shokrya, Ahmadini, Abdullah , Ali Abuzaid , (2021) , ' Robust estimators for circular regression models ' , Journal of King Saud University – Science 33 , 101576
6. Alshqaq, Shokrya Saleh, (2021), " On the least trimmed squares estimators for JS circular regression model " , Kuwait J.Sci., Vol.48 (3), July.2021, pp(1-13)
- Arthur Pewsey, Markus Neuhäuser, and Graeme D. Ruxton. (2013), "Circular Statistics in R " , Oxford and New York: Oxford University Press. xiv + 183 p.; ill.; index. ISBN: 978-0-19-967113-7. .7
8. Farcomeni, A.; Greco, L. (2013), Robust methods for data reduction, Boca Raton, FL: Chapman & Hall/CRC Press, ISBN 978-1-4665-9062-5
9. Ferreira, Sergio L.C.; Caires , Adriana O. ; da S. Borges, Thaise; M.D.S. Lima Ariana, O.B. Silva, Laiana and N.L. dos Santos Walter ,(2017), " Robustness evaluation in analytical methods optimized using experimental designs", Microchemical Journal 131 (2017) 163–169, <http://dx.doi.org/10.1016/j.microc.2016.12.004> 0026-265X/© 2016 Elsevier B.V. All rights reserved.
10. Hekimoglu, S., and Erenoglu,R. Z. (2013) "A new GM-estimate with high breakdown point " Acta Geod Geophys,NO. 48 ,PP 419-437.
11. Ibrahim, S., Rambli, A., Hussin, A.G., Mohamed, I., (2013). Outlier detection in a circular regression model using COVRATIO statistic. Commun. Stat.-Simul. Comput. 42 (10), 2272–2280.
12. Jammalamadaka, Sarma, Y., , S., 1993. Circular regression. In: Matusita, K. (Ed.), Statistical Theory and Data Analysis. VSP, Utrecht, pp. 109128109–109128128.
13. Lukman, A. F., Osowole , O. I. & Ayinde, K.(2015) "Two Stage Robust Ridge Method in a Linear Regression Model" Journal of Modern Applied Statistical Methods, NO. 14(2), PP 53-67.



- Rusiecki m Andrzej , (2009), " Robust Learning Algorithm with LTS Error .**14** Function", Encyclopedia of Artificial Intelligence, DOI: 10.4018/978-1-59904-849-9.ch204
15. S. Shvedov, Simple proof of robustness for the least trimmed squares estimator in linear regression models, Probl. Upr. , 2016, Issue 5, 10–13
16. Susanti, Yuliana, Hasih Pratiwi,Sri Sulistiowati H., Twenty Liana, (2014), "M ESTIMATION, S ESTIMATION, AND MM ESTIMATION IN ROBUST REGRESSION", International Journal of Pure and Applied Mathematics Volume 91 No. 3 2014, 349-360 ISSN: 1311-8080 (printed version); ISSN: 1314-3395 (on-line version) url: <http://www.ijpam.eu> doi: <http://dx.doi.org/10.12732/ijpam.v91i3>.